

Eingabe: Farbmimetrisches Drucker-Reflektiv-System FRS06

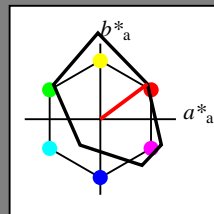
für Buntton $h^* = lab^*h = 37/360 = 0.102$

LAB*LCH, LAB*NCH

D65: Buntton O

LCH*Ma: 33 78 37

olv*Ma: 1.0 0.0 0.0



FRS06; adaptierte CIELAB-Daten

	$L^*=L^*_a$	a^*_a	b^*_a	$C^*_{ab,a}$	$h^*_{ab,a}$
O _{Ma}	32.57	62.32	46.49	77.75	37
Y _{Ma}	82.73	-3.16	113.99	114.03	92
L _{Ma}	39.43	-61.79	45.84	76.95	143
C _{Ma}	47.86	-26.79	-34.24	43.49	232
V _{Ma}	10.16	55.12	-61.03	82.24	312
M _{Ma}	34.5	80.68	-33.92	87.52	337
N _{Ma}	6.25	0.0	0.0	0.0	0
W _{Ma}	91.97	0.0	0.0	0.0	0
R _{CIE}	39.92	59.8	31.05	67.38	27
J _{CIE}	81.26	-2.52	76.25	76.29	92
G _{CIE}	52.23	-41.56	17.14	44.96	158
B _{CIE}	30.57	2.63	-43.77	43.86	273

CIELAB-Helligkeit L^*

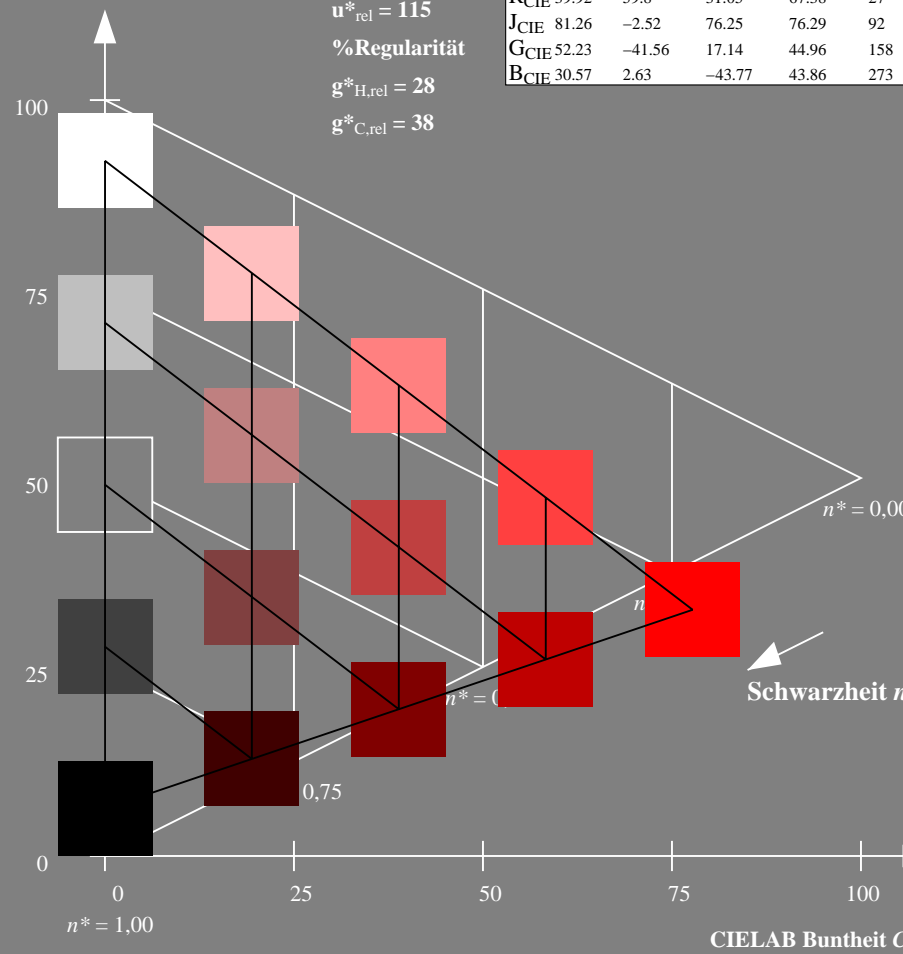
%Umfang

$u^*_{rel} = 115$

%Regularität

$g^*_{H,rel} = 28$

$g^*_{C,rel} = 38$



VG230-7, 5 stufige Reihen für konstanten CIELAB Buntton 37/360 = 0.102 (links)

Ausgabe: Farbmimetrisches Drucker-Reflektiv-System FRS06

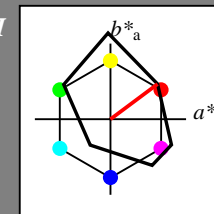
für Buntton $h^* = lab^*h = 37/360 = 0.102$

LAB*LCH, LAB*NCH

D65: Buntton O

LCH*Ma: 33 78 37

olv*Ma: 1.0 0.0 0.0



FRS06; adaptierte CIELAB-Daten

	$L^*=L^*_a$	a^*_a	b^*_a	$C^*_{ab,a}$	$h^*_{ab,a}$
O _{Ma}	32.57	62.32	46.49	77.75	37
Y _{Ma}	82.73	-3.16	113.99	114.03	92
L _{Ma}	39.43	-61.79	45.84	76.95	143
C _{Ma}	47.86	-26.79	-34.24	43.49	232
V _{Ma}	10.16	55.12	-61.03	82.24	312
M _{Ma}	34.5	80.68	-33.92	87.52	337
N _{Ma}	6.25	0.0	0.0	0.0	0
W _{Ma}	91.97	0.0	0.0	0.0	0
R _{CIE}	39.92	59.8	31.05	67.38	27
J _{CIE}	81.26	-2.52	76.25	76.29	92
G _{CIE}	52.23	-41.56	17.14	44.96	158
B _{CIE}	30.57	2.63	-43.77	43.86	273

CIELAB-Helligkeit L^*

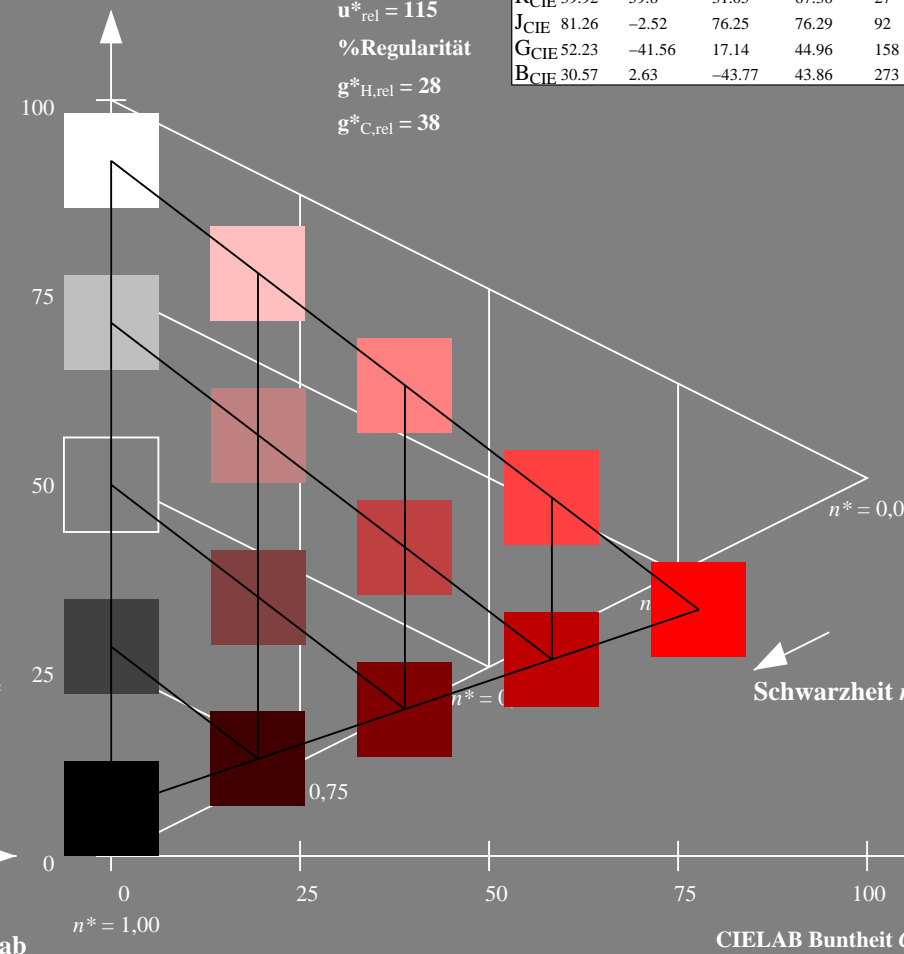
%Umfang

$u^*_{rel} = 115$

%Regularität

$g^*_{H,rel} = 28$

$g^*_{C,rel} = 38$



5 stufige Reihen für konstanten CIELAB Buntton 37/360 = 0.102 (rechts)

BAM-Prüfvorlage VG23; Farbmimetrik-Systeme FRS06 & FRS06 input: olv* setrgbcolor

D65: Koordinatensysteme; 5stufige Farbreihen für 10 Bunttöne output: no change compared to input

Eingabe: Farbmimetrisches Drucker-Reflektiv-System FRS06

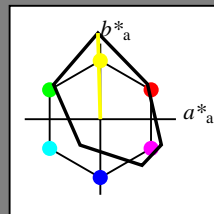
für Buntton $h^* = lab \cdot h = 92/360 = 0.254$

LAB*LCH, LAB*NCH

D65: Buntton Y

LCH*Ma: 83 114 92

olv*Ma: 1.0 1.0 0.0



FRS06; adaptierte CIELAB-Daten

	$L^*=L^*_a$	a^*_a	b^*_a	$C^*_{ab,a}$	$h^*_{ab,a}$
O _{Ma}	32.57	62.32	46.49	77.75	37
Y _{Ma}	82.73	-3.16	113.99	114.03	92
L _{Ma}	39.43	-61.79	45.84	76.95	143
C _{Ma}	47.86	-26.79	-34.24	43.49	232
V _{Ma}	10.16	55.12	-61.03	82.24	312
M _{Ma}	34.5	80.68	-33.92	87.52	337
N _{Ma}	6.25	0.0	0.0	0.0	0
W _{Ma}	91.97	0.0	0.0	0.0	0
R _{CIE}	39.92	59.8	31.05	67.38	27
J _{CIE}	81.26	-2.52	76.25	76.29	92
G _{CIE}	52.23	-41.56	17.14	44.96	158
B _{CIE}	30.57	2.63	-43.77	43.86	273

CIELAB-Helligkeit L^*

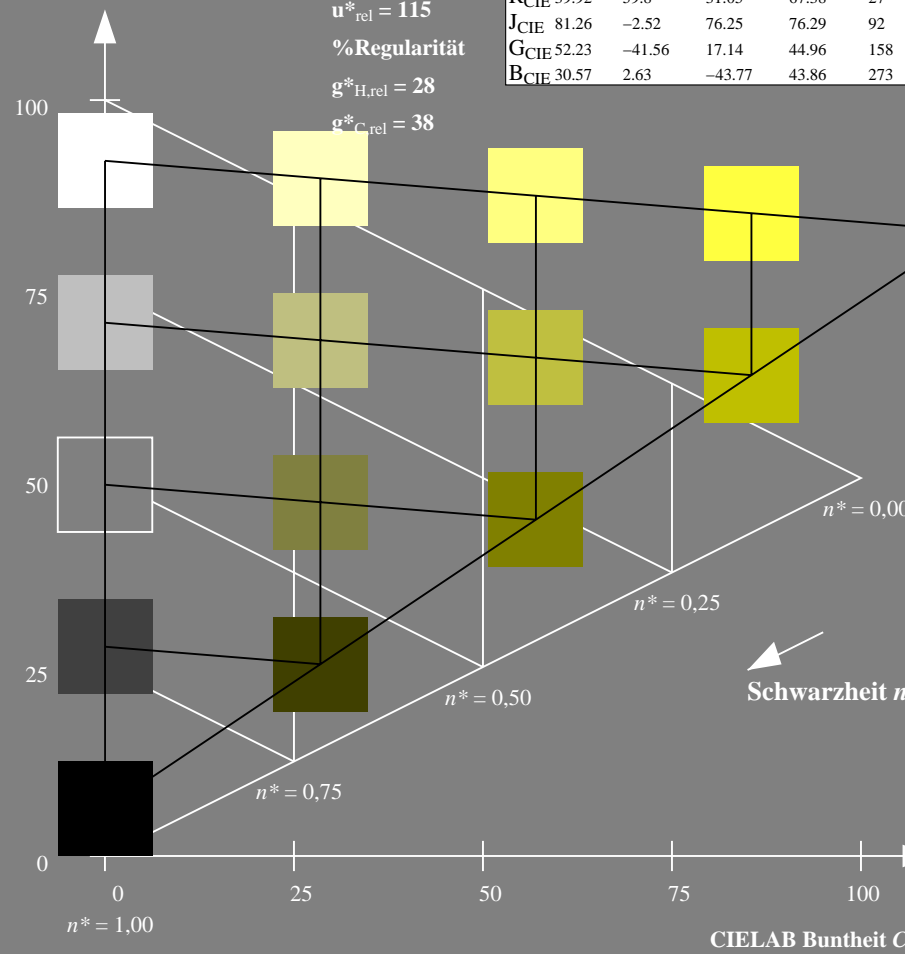
%Umfang

$u^*_{rel} = 115$

%Regularität

$g^*_{H,rel} = 28$

$g^*_{C,rel} = 38$



VG230-7, 5 stufige Reihen für konstanten CIELAB Buntton $92/360 = 0.254$ (links)

Ausgabe: Farbmimetrisches Drucker-Reflektiv-System FRS06

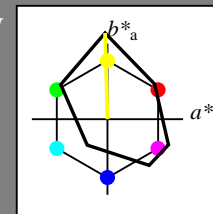
für Buntton $h^* = lab \cdot h = 92/360 = 0.254$

LAB*LCH, LAB*NCH

D65: Buntton Y

LCH*Ma: 83 114 92

olv*Ma: 1.0 1.0 0.0



FRS06; adaptierte CIELAB-Daten

	$L^*=L^*_a$	a^*_a	b^*_a	$C^*_{ab,a}$	$h^*_{ab,a}$
O _{Ma}	32.57	62.32	46.49	77.75	37
Y _{Ma}	82.73	-3.16	113.99	114.03	92
L _{Ma}	39.43	-61.79	45.84	76.95	143
C _{Ma}	47.86	-26.79	-34.24	43.49	232
V _{Ma}	10.16	55.12	-61.03	82.24	312
M _{Ma}	34.5	80.68	-33.92	87.52	337
N _{Ma}	6.25	0.0	0.0	0.0	0
W _{Ma}	91.97	0.0	0.0	0.0	0
R _{CIE}	39.92	59.8	31.05	67.38	27
J _{CIE}	81.26	-2.52	76.25	76.29	92
G _{CIE}	52.23	-41.56	17.14	44.96	158
B _{CIE}	30.57	2.63	-43.77	43.86	273

CIELAB-Helligkeit L^*

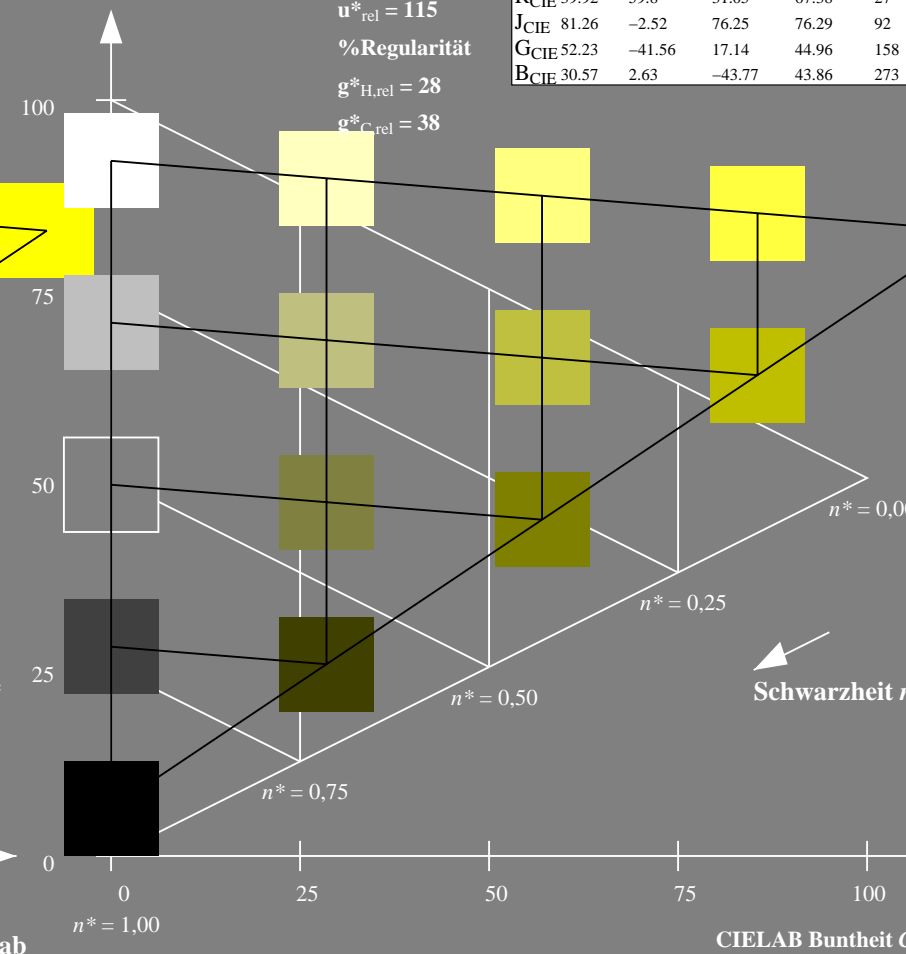
%Umfang

$u^*_{rel} = 115$

%Regularität

$g^*_{H,rel} = 28$

$g^*_{C,rel} = 38$



5 stufige Reihen für konstanten CIELAB Buntton $92/360 = 0.254$ (rechts)

BAM-Prüfvorlage VG23; Farbmimetrik-Systeme FRS06 & FRS06 input: olv* setrgbcolor

D65: Koordinatensysteme; 5stufige Farbreihen für 10 Bunttöne output: no change compared to input

Eingabe: Farbmétrisches Drucker-Reflektiv-System FRS06

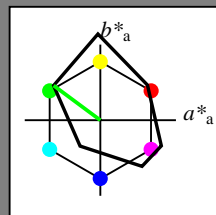
für Buntton $h^* = lab^*h = 143/360 = 0.398$

LAB*LCH, LAB*NCH

D65: Buntton L

LCH*Ma: 39 77 143

olv*Ma: 0.0 1.0 0.0



FRS06; adaptierte CIELAB-Daten

	$L^*=L^*_a$	a^*_a	b^*_a	$C^*_{ab,a}$	$h^*_{ab,a}$
O _{Ma}	32.57	62.32	46.49	77.75	37
Y _{Ma}	82.73	-3.16	113.99	114.03	92
L _{Ma}	39.43	-61.79	45.84	76.95	143
C _{Ma}	47.86	-26.79	-34.24	43.49	232
V _{Ma}	10.16	55.12	-61.03	82.24	312
M _{Ma}	34.5	80.68	-33.92	87.52	337
N _{Ma}	6.25	0.0	0.0	0.0	0
W _{Ma}	91.97	0.0	0.0	0.0	0
R _{CIE}	39.92	59.8	31.05	67.38	27
J _{CIE}	81.26	-2.52	76.25	76.29	92
G _{CIE}	52.23	-41.56	17.14	44.96	158
B _{CIE}	30.57	2.63	-43.77	43.86	273

CIELAB-Helligkeit L^*

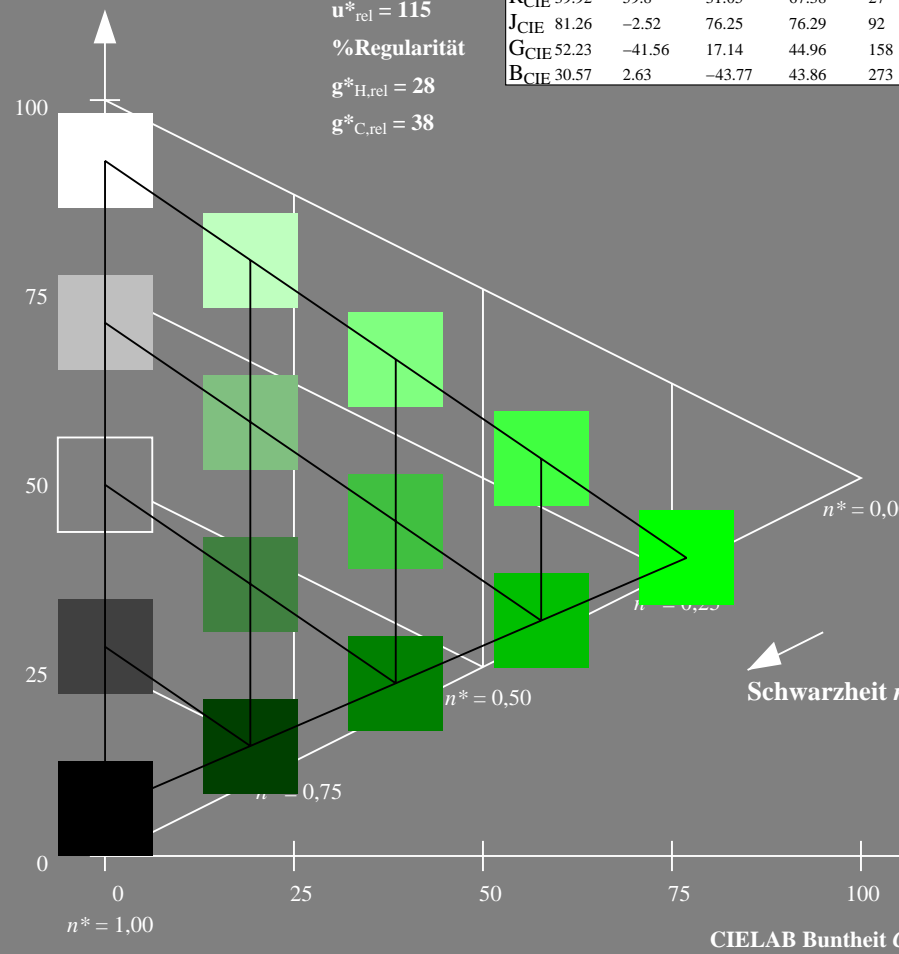
%Umfang

$u^*_{rel} = 115$

%Regularität

$g^*_{H,rel} = 28$

$g^*_{C,rel} = 38$



VG230-7, 5 stufige Reihen für konstanten CIELAB Buntton $143/360 = 0.398$ (links)



BAM-Prüfvorlage VG23; Farbmétrik-Systeme FRS06 & FRS06 input: olv* setrgbcolor

D65: Koordinatensysteme; 5stufige Farbreihen für 10 Bunttöne output: no change compared to input

Ausgabe: Farbmétrisches Drucker-Reflektiv-System FRS06

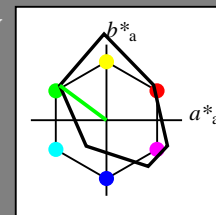
für Buntton $h^* = lab^*h = 143/360 = 0.398$

LAB*LCH, LAB*NCH

D65: Buntton L

LCH*Ma: 39 77 143

olv*Ma: 0.0 1.0 0.0



FRS06; adaptierte CIELAB-Daten

	$L^*=L^*_a$	a^*_a	b^*_a	$C^*_{ab,a}$	$h^*_{ab,a}$
O _{Ma}	32.57	62.32	46.49	77.75	37
Y _{Ma}	82.73	-3.16	113.99	114.03	92
L _{Ma}	39.43	-61.79	45.84	76.95	143
C _{Ma}	47.86	-26.79	-34.24	43.49	232
V _{Ma}	10.16	55.12	-61.03	82.24	312
M _{Ma}	34.5	80.68	-33.92	87.52	337
N _{Ma}	6.25	0.0	0.0	0.0	0
W _{Ma}	91.97	0.0	0.0	0.0	0
R _{CIE}	39.92	59.8	31.05	67.38	27
J _{CIE}	81.26	-2.52	76.25	76.29	92
G _{CIE}	52.23	-41.56	17.14	44.96	158
B _{CIE}	30.57	2.63	-43.77	43.86	273

CIELAB-Helligkeit L^*

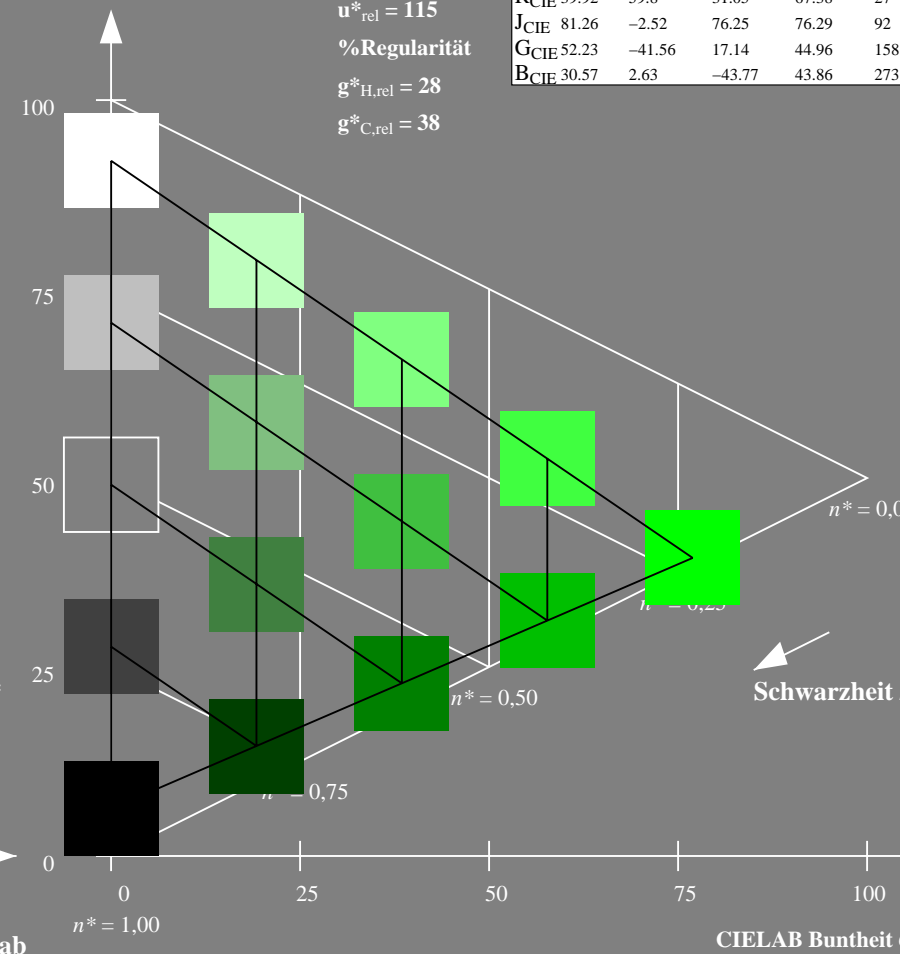
%Umfang

$u^*_{rel} = 115$

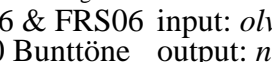
%Regularität

$g^*_{H,rel} = 28$

$g^*_{C,rel} = 38$



5 stufige Reihen für konstanten CIELAB Buntton $143/360 = 0.398$ (rechts)



Eingabe: Farbmétrisches Drucker-Reflektiv-System FRS06

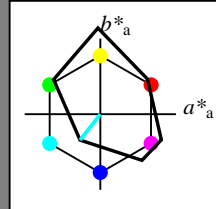
für Buntton $h^* = lab^*h = 232/360 = 0.644$

LAB*LCH, LAB*NCH

D65: Buntton C

LCH*Ma: 48 43 232

olv*Ma: 0.0 1.0 1.0



FRS06; adaptierte CIELAB-Daten

	$L^*=L^*_a$	a^*_a	b^*_a	$C^*_{ab,a}$	$h^*_{ab,a}$
O _{Ma}	32.57	62.32	46.49	77.75	37
Y _{Ma}	82.73	-3.16	113.99	114.03	92
L _{Ma}	39.43	-61.79	45.84	76.95	143
C _{Ma}	47.86	-26.79	-34.24	43.49	232
V _{Ma}	10.16	55.12	-61.03	82.24	312
M _{Ma}	34.5	80.68	-33.92	87.52	337
N _{Ma}	6.25	0.0	0.0	0.0	0
W _{Ma}	91.97	0.0	0.0	0.0	0
R _{CIE}	39.92	59.8	31.05	67.38	27
J _{CIE}	81.26	-2.52	76.25	76.29	92
G _{CIE}	52.23	-41.56	17.14	44.96	158
B _{CIE}	30.57	2.63	-43.77	43.86	273

CIELAB-Helligkeit L^*

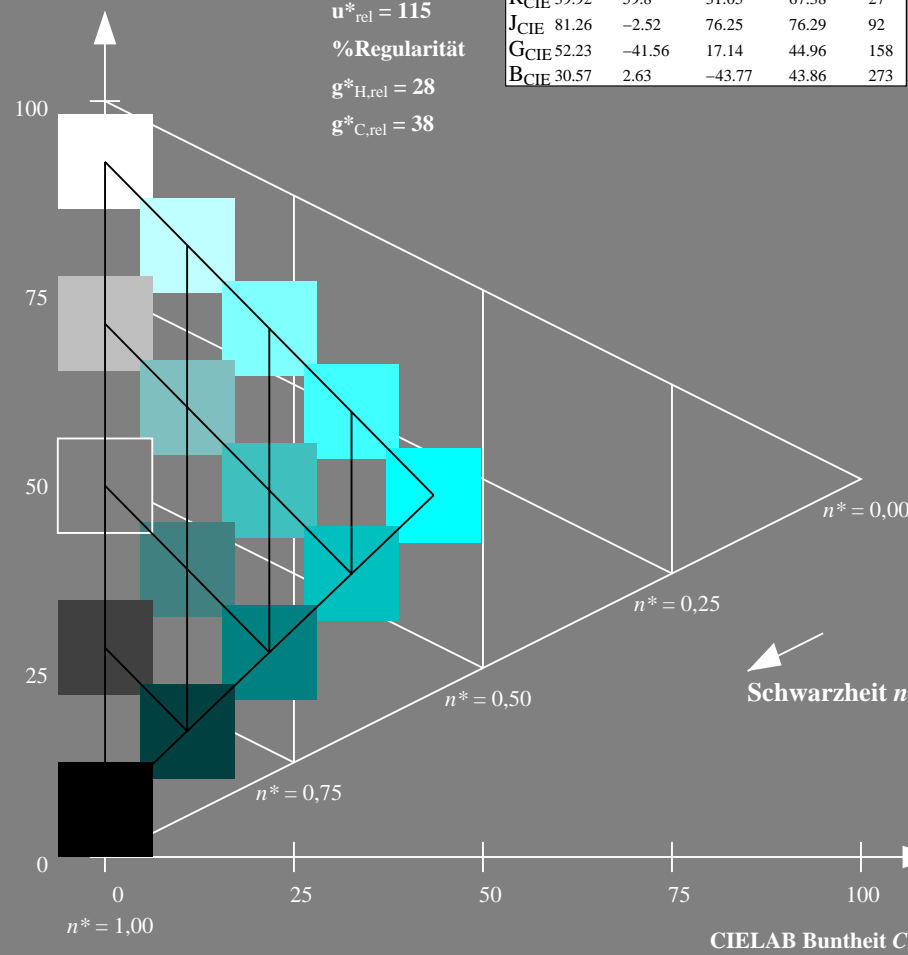
%Umfang

$u^*_{rel} = 115$

%Regularität

$g^*_{H,rel} = 28$

$g^*_{C,rel} = 38$



VG230-7, 5 stufige Reihen für konstanten CIELAB Buntton $232/360 = 0.644$ (links)

Ausgabe: Farbmétrisches Drucker-Reflektiv-System FRS06

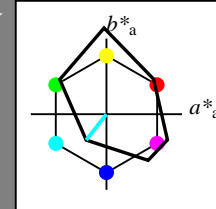
für Buntton $h^* = lab^*h = 232/360 = 0.644$

LAB*LCH, LAB*NCH

D65: Buntton C

LCH*Ma: 48 43 232

olv*Ma: 0.0 1.0 1.0



FRS06; adaptierte CIELAB-Daten

	$L^*=L^*_a$	a^*_a	b^*_a	$C^*_{ab,a}$	$h^*_{ab,a}$
O _{Ma}	32.57	62.32	46.49	77.75	37
Y _{Ma}	82.73	-3.16	113.99	114.03	92
L _{Ma}	39.43	-61.79	45.84	76.95	143
C _{Ma}	47.86	-26.79	-34.24	43.49	232
V _{Ma}	10.16	55.12	-61.03	82.24	312
M _{Ma}	34.5	80.68	-33.92	87.52	337
N _{Ma}	6.25	0.0	0.0	0.0	0
W _{Ma}	91.97	0.0	0.0	0.0	0
R _{CIE}	39.92	59.8	31.05	67.38	27
J _{CIE}	81.26	-2.52	76.25	76.29	92
G _{CIE}	52.23	-41.56	17.14	44.96	158
B _{CIE}	30.57	2.63	-43.77	43.86	273

CIELAB-Helligkeit L^*

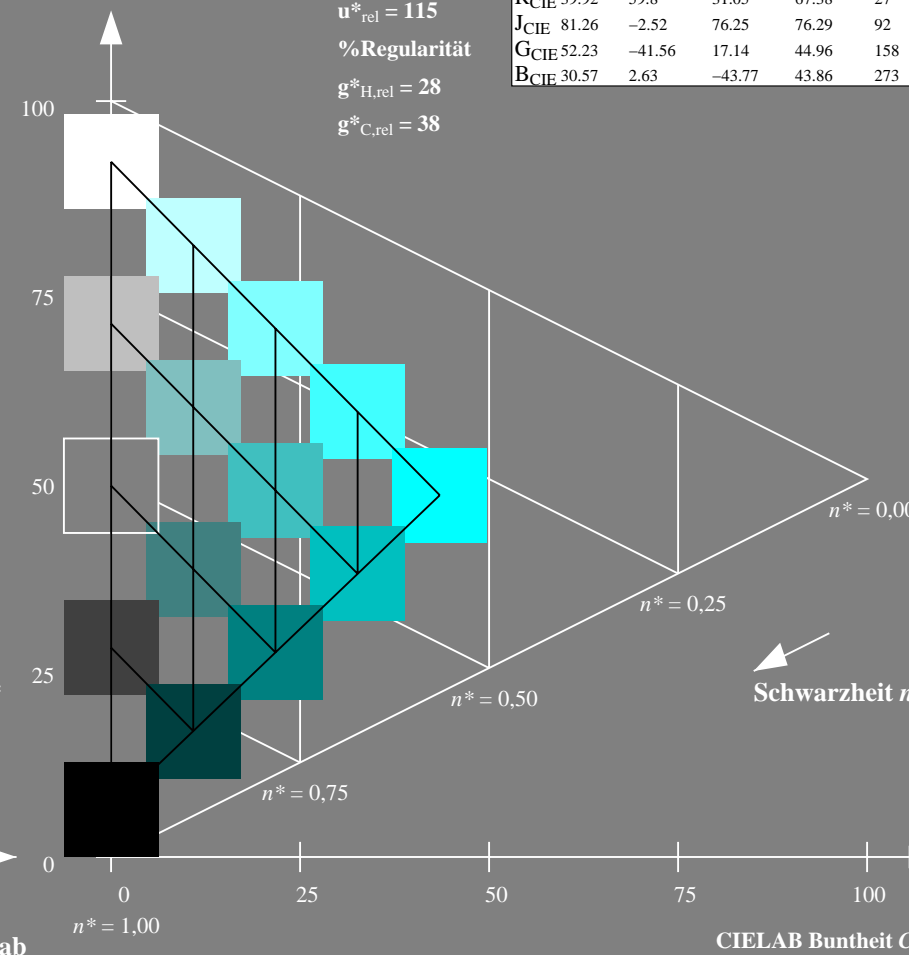
%Umfang

$u^*_{rel} = 115$

%Regularität

$g^*_{H,rel} = 28$

$g^*_{C,rel} = 38$



5 stufige Reihen für konstanten CIELAB Buntton $232/360 = 0.644$ (rechts)

BAM-Prüfvorlage VG23; Farbmétrik-Systeme FRS06 & FRS06 input: olv* setrgbcolor

D65: Koordinatensysteme; 5stufige Farbreihen für 10 Bunttöne output: no change compared to input

Eingabe: Farbmetrisches Drucker-Reflektiv-System FRS06

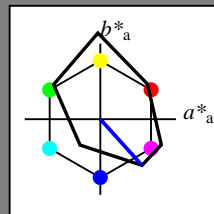
für Buntton $h^* = lab^*h = 312/360 = 0.867$

LAB*LCH, LAB*NCH

D65: Buntton V

LCH*Ma: 10 82 312

olv*Ma: 0.0 0.0 1.0



FRS06; adaptierte CIELAB-Daten

	$L^*=L_a^*$	a_a^*	b_a^*	$C_{ab,a}^*$	$h_{ab,a}^*$
O _{Ma}	32.57	62.32	46.49	77.75	37
Y _{Ma}	82.73	-3.16	113.99	114.03	92
L _{Ma}	39.43	-61.79	45.84	76.95	143
C _{Ma}	47.86	-26.79	-34.24	43.49	232
V _{Ma}	10.16	55.12	-61.03	82.24	312
M _{Ma}	34.5	80.68	-33.92	87.52	337
N _{Ma}	6.25	0.0	0.0	0.0	0
W _{Ma}	91.97	0.0	0.0	0.0	0
R _{CIE}	39.92	59.8	31.05	67.38	27
J _{CIE}	81.26	-2.52	76.25	76.29	92
G _{CIE}	52.23	-41.56	17.14	44.96	158
B _{CIE}	30.57	2.63	-43.77	43.86	273

CIELAB-Helligkeit L^*

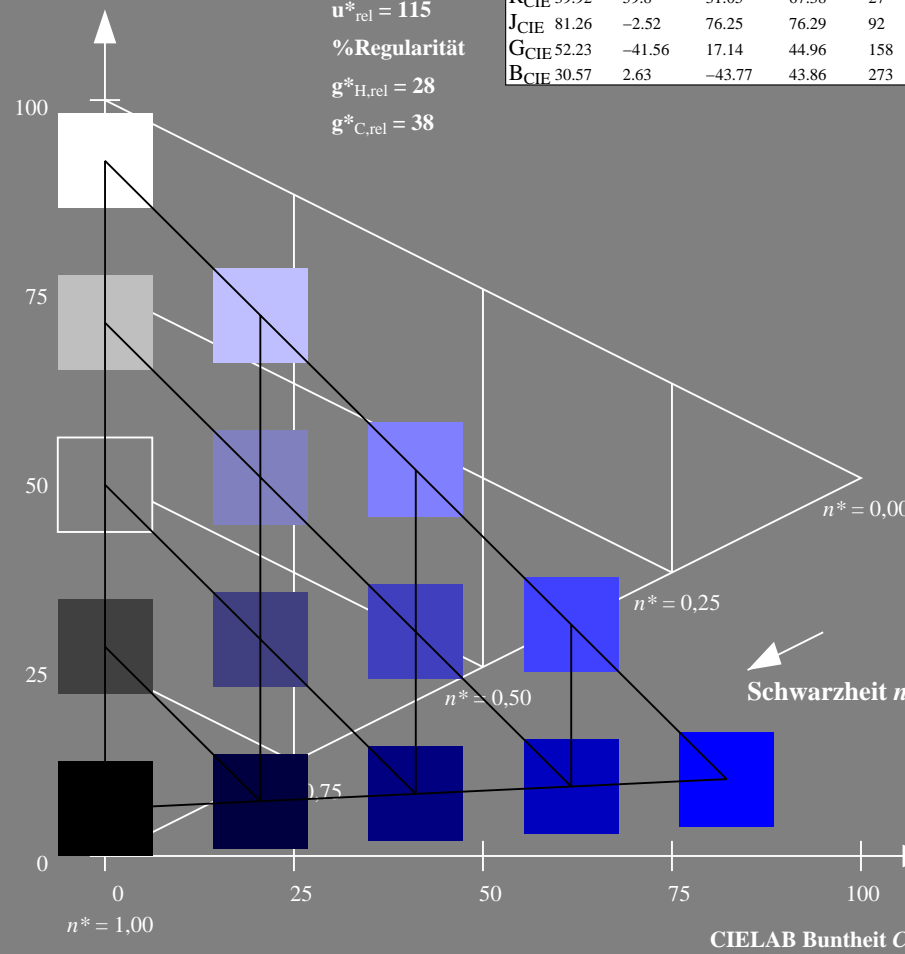
%Umfang

$u_{rel}^* = 115$

%Regularität

$g_{H,rel}^* = 28$

$g_{C,rel}^* = 38$



VG230-7, 5 stufige Reihen für konstanten CIELAB Buntton $312/360 = 0.867$ (links)

Ausgabe: Farbmetrisches Drucker-Reflektiv-System FRS06

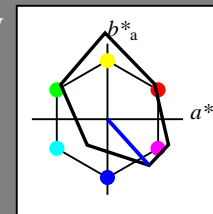
für Buntton $h^* = lab^*h = 312/360 = 0.867$

LAB*LCH, LAB*NCH

D65: Buntton V

LCH*Ma: 10 82 312

olv*Ma: 0.0 0.0 1.0



FRS06; adaptierte CIELAB-Daten

	$L^*=L_a^*$	a_a^*	b_a^*	$C_{ab,a}^*$	$h_{ab,a}^*$
O _{Ma}	32.57	62.32	46.49	77.75	37
Y _{Ma}	82.73	-3.16	113.99	114.03	92
L _{Ma}	39.43	-61.79	45.84	76.95	143
C _{Ma}	47.86	-26.79	-34.24	43.49	232
V _{Ma}	10.16	55.12	-61.03	82.24	312
M _{Ma}	34.5	80.68	-33.92	87.52	337
N _{Ma}	6.25	0.0	0.0	0.0	0
W _{Ma}	91.97	0.0	0.0	0.0	0
R _{CIE}	39.92	59.8	31.05	67.38	27
J _{CIE}	81.26	-2.52	76.25	76.29	92
G _{CIE}	52.23	-41.56	17.14	44.96	158
B _{CIE}	30.57	2.63	-43.77	43.86	273

CIELAB-Helligkeit L^*

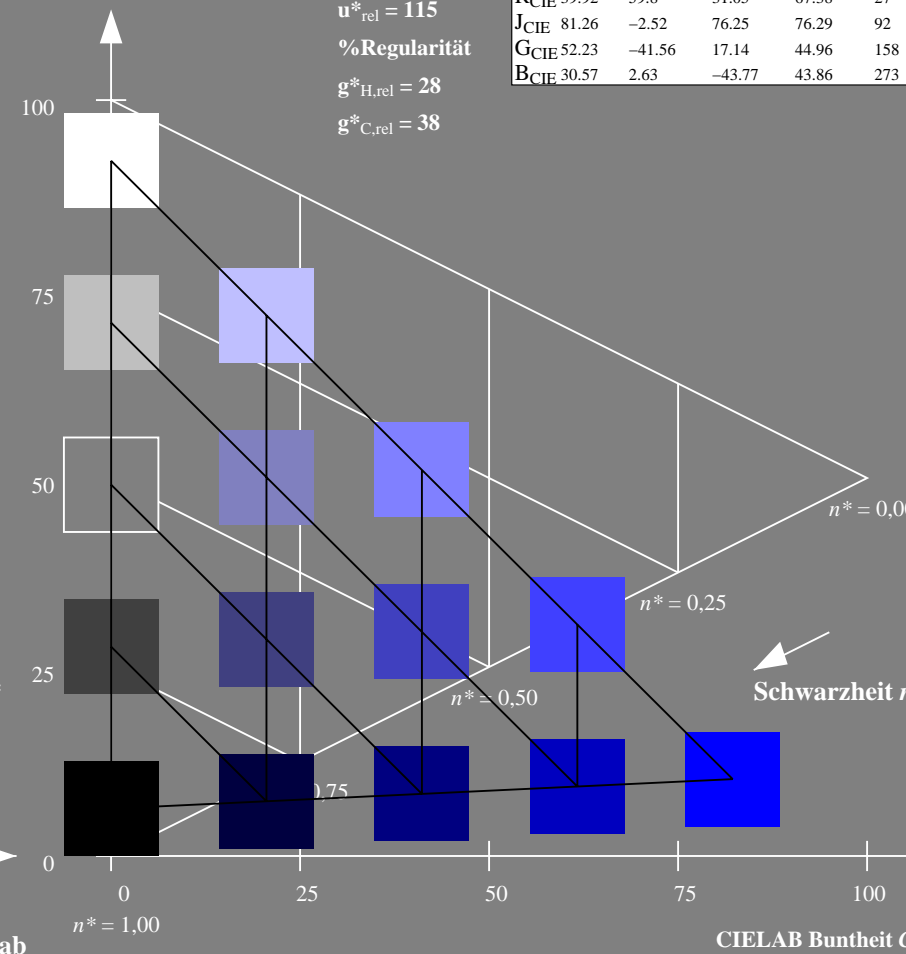
%Umfang

$u_{rel}^* = 115$

%Regularität

$g_{H,rel}^* = 28$

$g_{C,rel}^* = 38$



5 stufige Reihen für konstanten CIELAB Buntton $312/360 = 0.867$ (rechts)

BAM-Prüfvorlage VG23; Farbmetrik-Systeme FRS06 & FRS06 input: olv* setrgbcolor

D65: Koordinatensysteme; 5stufige Farbreihen für 10 Bunttöne output: no change compared to input

Eingabe: Farbmétrisches Drucker-Reflektiv-System FRS06

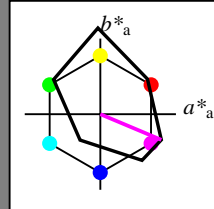
für Buntton $h^* = lab^*h = 337/360 = 0.937$

LAB*LCH, LAB*NCH

D65: Buntton M

LCH*Ma: 35 88 337

olv*Ma: 1.0 0.0 1.0



FRS06; adaptierte CIELAB-Daten

	$L^*=L^*_a$	a^*_a	b^*_a	$C^*_{ab,a}$	$h^*_{ab,a}$
O _{Ma}	32.57	62.32	46.49	77.75	37
Y _{Ma}	82.73	-3.16	113.99	114.03	92
L _{Ma}	39.43	-61.79	45.84	76.95	143
C _{Ma}	47.86	-26.79	-34.24	43.49	232
V _{Ma}	10.16	55.12	-61.03	82.24	312
M _{Ma}	34.5	80.68	-33.92	87.52	337
N _{Ma}	6.25	0.0	0.0	0.0	0
W _{Ma}	91.97	0.0	0.0	0.0	0
R _{CIE}	39.92	59.8	31.05	67.38	27
J _{CIE}	81.26	-2.52	76.25	76.29	92
G _{CIE}	52.23	-41.56	17.14	44.96	158
B _{CIE}	30.57	2.63	-43.77	43.86	273

CIELAB-Helligkeit L^*

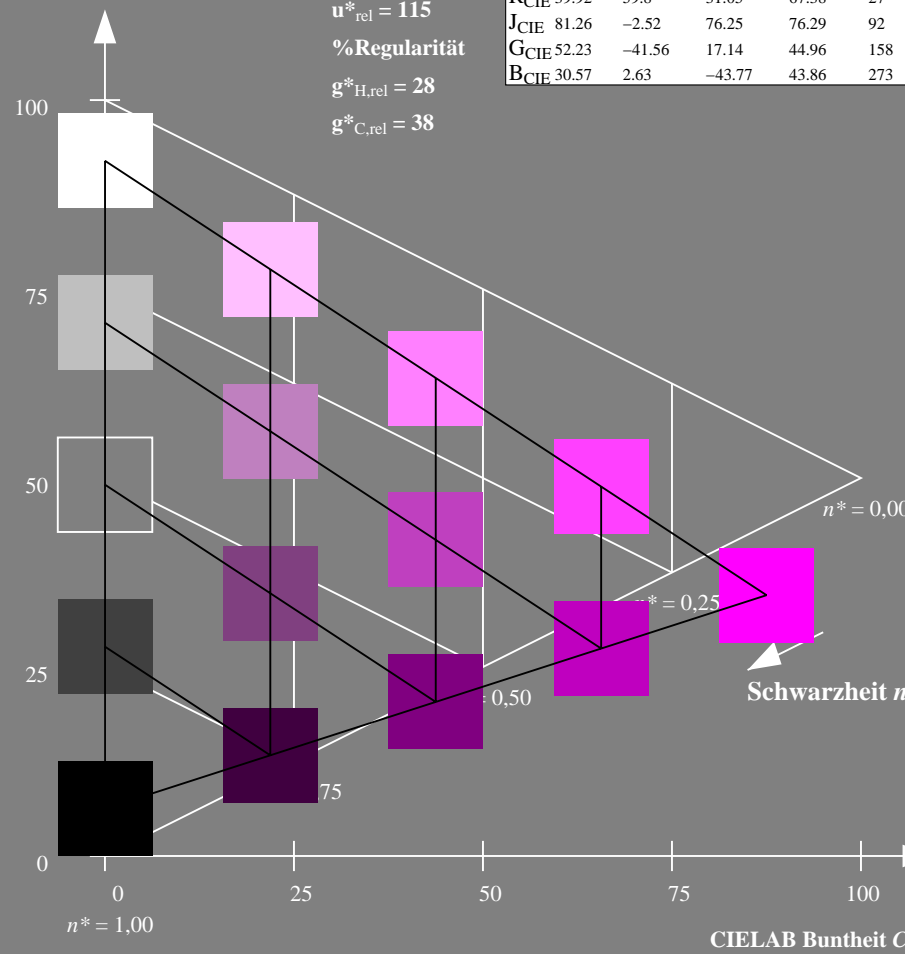
%Umfang

$u^*_{rel} = 115$

%Regularität

$g^*_{H,rel} = 28$

$g^*_{C,rel} = 38$



VG230-7, 5 stufige Reihen für konstanten CIELAB Buntton 337/360 = 0.937 (links)

Ausgabe: Farbmétrisches Drucker-Reflektiv-System FRS06

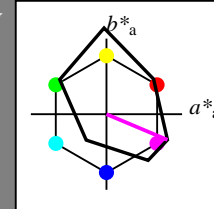
für Buntton $h^* = lab^*h = 337/360 = 0.937$

LAB*LCH, LAB*NCH

D65: Buntton M

LCH*Ma: 35 88 337

olv*Ma: 1.0 0.0 1.0



FRS06; adaptierte CIELAB-Daten

	$L^*=L^*_a$	a^*_a	b^*_a	$C^*_{ab,a}$	$h^*_{ab,a}$
O _{Ma}	32.57	62.32	46.49	77.75	37
Y _{Ma}	82.73	-3.16	113.99	114.03	92
L _{Ma}	39.43	-61.79	45.84	76.95	143
C _{Ma}	47.86	-26.79	-34.24	43.49	232
V _{Ma}	10.16	55.12	-61.03	82.24	312
M _{Ma}	34.5	80.68	-33.92	87.52	337
N _{Ma}	6.25	0.0	0.0	0.0	0
W _{Ma}	91.97	0.0	0.0	0.0	0
R _{CIE}	39.92	59.8	31.05	67.38	27
J _{CIE}	81.26	-2.52	76.25	76.29	92
G _{CIE}	52.23	-41.56	17.14	44.96	158
B _{CIE}	30.57	2.63	-43.77	43.86	273

CIELAB-Helligkeit L^*

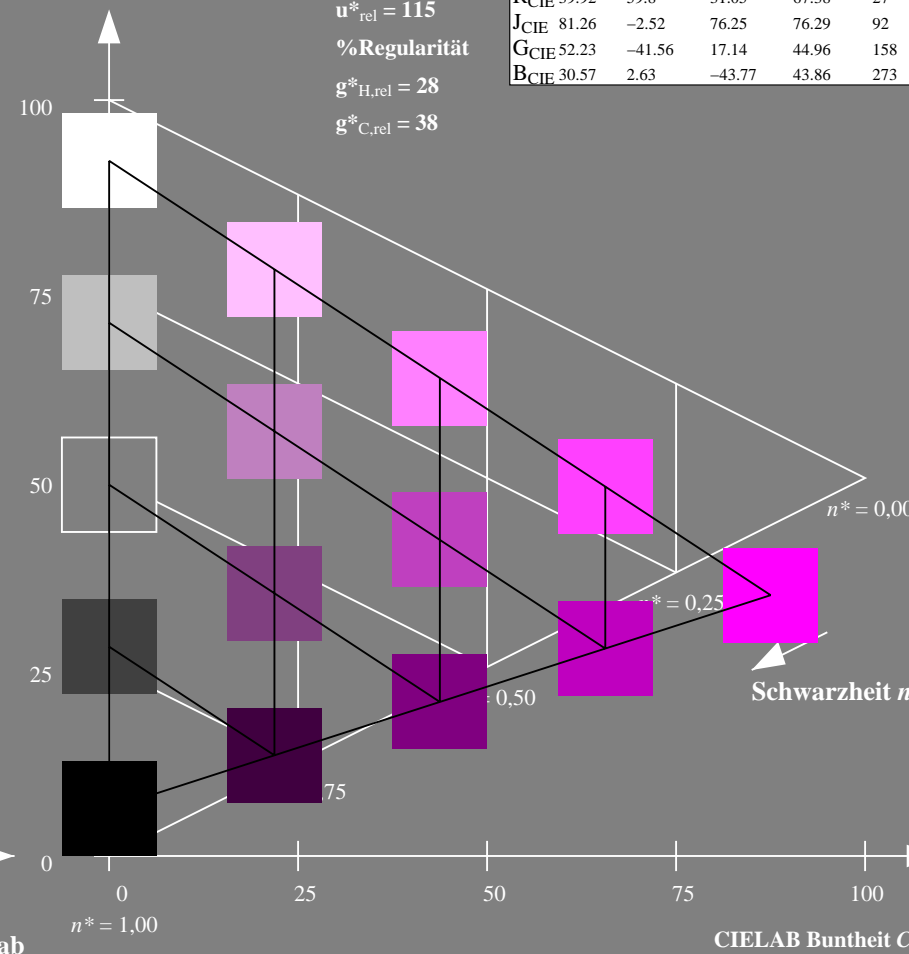
%Umfang

$u^*_{rel} = 115$

%Regularität

$g^*_{H,rel} = 28$

$g^*_{C,rel} = 38$



5 stufige Reihen für konstanten CIELAB Buntton 337/360 = 0.937 (rechts)

BAM-Prüfvorlage VG23; Farbmétrik-Systeme FRS06 & FRS06 input: olv* setrgbcolor

D65: Koordinatensysteme; 5stufige Farbreihen für 10 Bunttöne output: no change compared to input

Eingabe: Farbmetrisches Drucker-Reflektiv-System FRS06

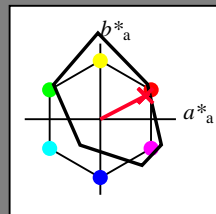
für Buntton $h^* = lab^*h = 27/360 = 0.076$

LAB*LCH, LAB*NCH

D65: Buntton R

LCH*Ma: 33 73 27

olv*Ma: 1.0 0.0 0.16



FRS06; adaptierte CIELAB-Daten

	$L^*=L^*_a$	a^*_a	b^*_a	$C^*_{ab,a}$	$h^*_{ab,a}$
O _{Ma}	32.57	62.32	46.49	77.75	37
Y _{Ma}	82.73	-3.16	113.99	114.03	92
L _{Ma}	39.43	-61.79	45.84	76.95	143
C _{Ma}	47.86	-26.79	-34.24	43.49	232
V _{Ma}	10.16	55.12	-61.03	82.24	312
M _{Ma}	34.5	80.68	-33.92	87.52	337
N _{Ma}	6.25	0.0	0.0	0.0	0
W _{Ma}	91.97	0.0	0.0	0.0	0
R _{CIE}	39.92	59.8	31.05	67.38	27
J _{CIE}	81.26	-2.52	76.25	76.29	92
G _{CIE}	52.23	-41.56	17.14	44.96	158
B _{CIE}	30.57	2.63	-43.77	43.86	273

CIELAB-Helligkeit L^*

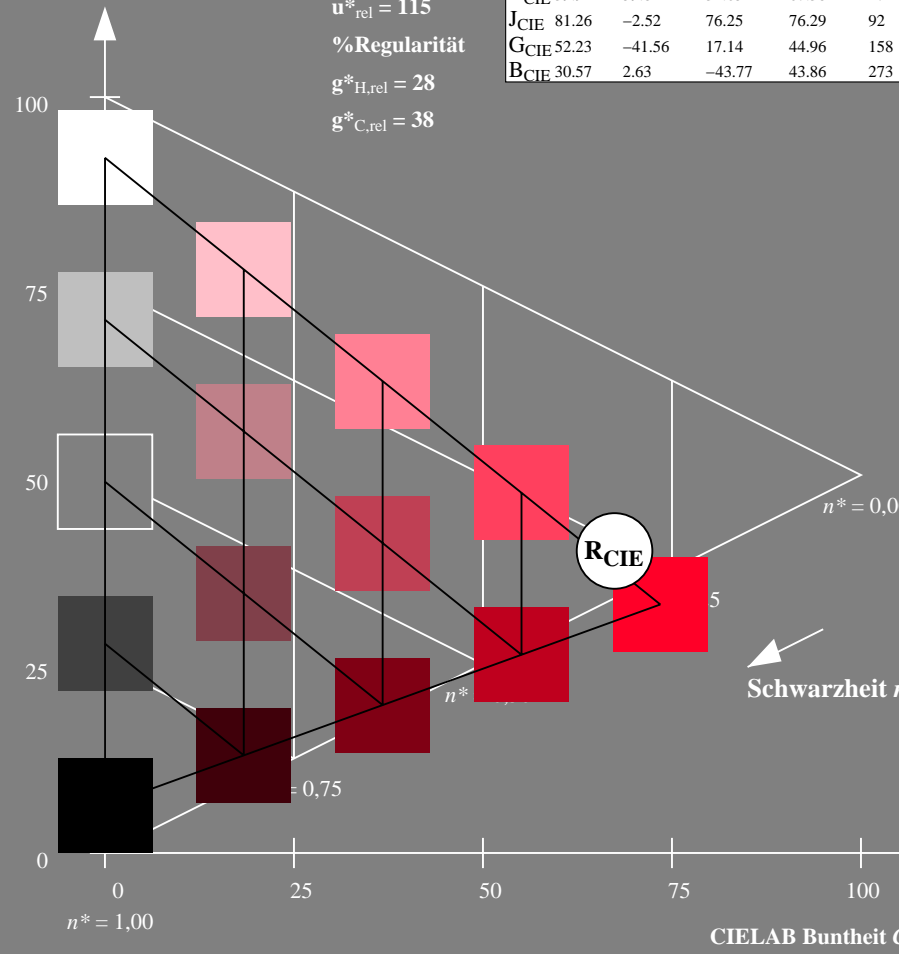
%Umfang

$u^*_{rel} = 115$

%Regularität

$g^*_{H,rel} = 28$

$g^*_{C,rel} = 38$



VG230-7, 5 stufige Reihen für konstanten CIELAB Buntton 27/360 = 0.076 (links)

Ausgabe: Farbmetrisches Drucker-Reflektiv-System FRS06

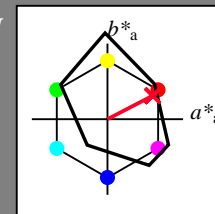
für Buntton $h^* = lab^*h = 27/360 = 0.076$

LAB*LCH, LAB*NCH

D65: Buntton R

LCH*Ma: 33 73 27

olv*Ma: 1.0 0.0 0.16



FRS06; adaptierte CIELAB-Daten

	$L^*=L^*_a$	a^*_a	b^*_a	$C^*_{ab,a}$	$h^*_{ab,a}$
O _{Ma}	32.57	62.32	46.49	77.75	37
Y _{Ma}	82.73	-3.16	113.99	114.03	92
L _{Ma}	39.43	-61.79	45.84	76.95	143
C _{Ma}	47.86	-26.79	-34.24	43.49	232
V _{Ma}	10.16	55.12	-61.03	82.24	312
M _{Ma}	34.5	80.68	-33.92	87.52	337
N _{Ma}	6.25	0.0	0.0	0.0	0
W _{Ma}	91.97	0.0	0.0	0.0	0
R _{CIE}	39.92	59.8	31.05	67.38	27
J _{CIE}	81.26	-2.52	76.25	76.29	92
G _{CIE}	52.23	-41.56	17.14	44.96	158
B _{CIE}	30.57	2.63	-43.77	43.86	273

CIELAB-Helligkeit L^*

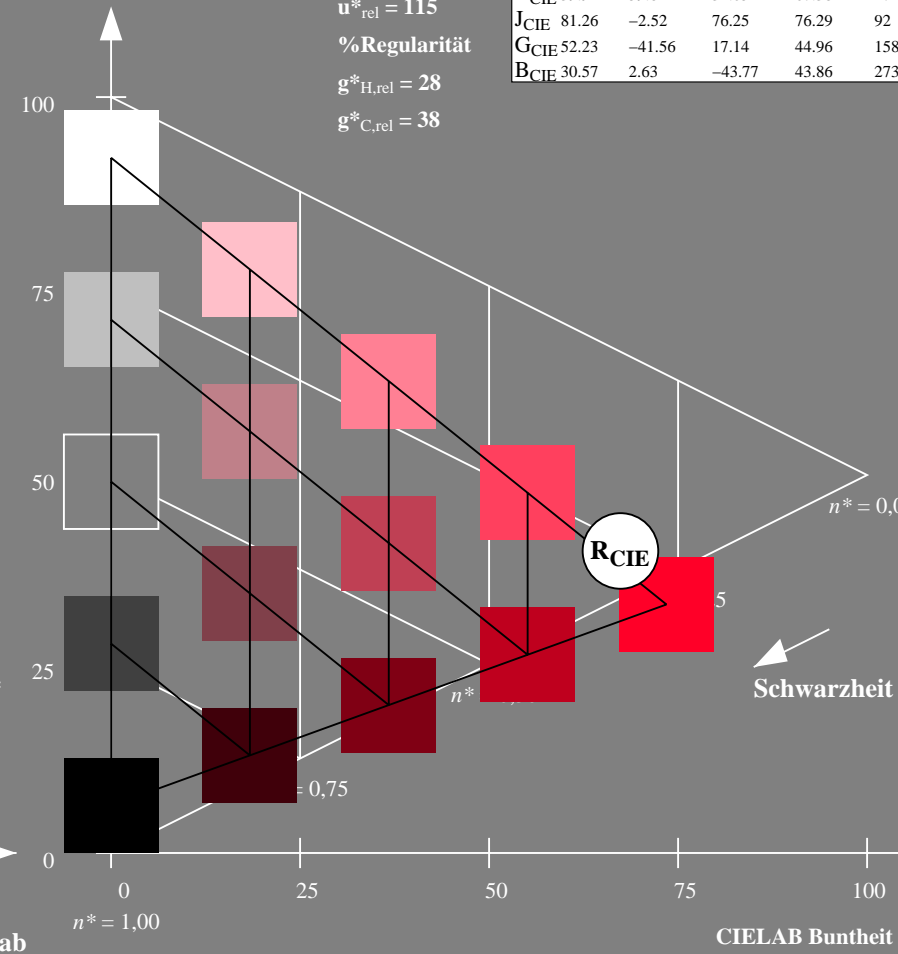
%Umfang

$u^*_{rel} = 115$

%Regularität

$g^*_{H,rel} = 28$

$g^*_{C,rel} = 38$



5 stufige Reihen für konstanten CIELAB Buntton 27/360 = 0.076 (rechts)

BAM-Prüfvorlage VG23; Farbmetrik-Systeme FRS06 & FRS06 input: olv* setrgbcolor

D65: Koordinatensysteme; 5stufige Farbreihen für 10 Bunttöne output: no change compared to input

Eingabe: Farbmetrisches Drucker-Reflektiv-System FRS06

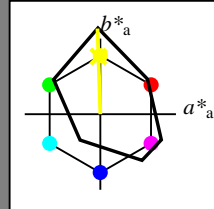
für Buntton $h^* = lab \cdot h = 92/360 = 0.255$

LAB*LCH, LAB*NCH

D65: Buntton J

LCH*Ma: 82 113 92

olv*Ma: 0.99 1.0 0.0



FRS06; adaptierte CIELAB-Daten

	$L^*=L^*_a$	a^*_a	b^*_a	$C^*_{ab,a}$	$h^*_{ab,a}$
O _{Ma}	32.57	62.32	46.49	77.75	37
Y _{Ma}	82.73	-3.16	113.99	114.03	92
L _{Ma}	39.43	-61.79	45.84	76.95	143
C _{Ma}	47.86	-26.79	-34.24	43.49	232
V _{Ma}	10.16	55.12	-61.03	82.24	312
M _{Ma}	34.5	80.68	-33.92	87.52	337
N _{Ma}	6.25	0.0	0.0	0.0	0
W _{Ma}	91.97	0.0	0.0	0.0	0
R _{CIE}	39.92	59.8	31.05	67.38	27
J _{CIE}	81.26	-2.52	76.25	76.29	92
G _{CIE}	52.23	-41.56	17.14	44.96	158
B _{CIE}	30.57	2.63	-43.77	43.86	273

CIELAB-Helligkeit L^*

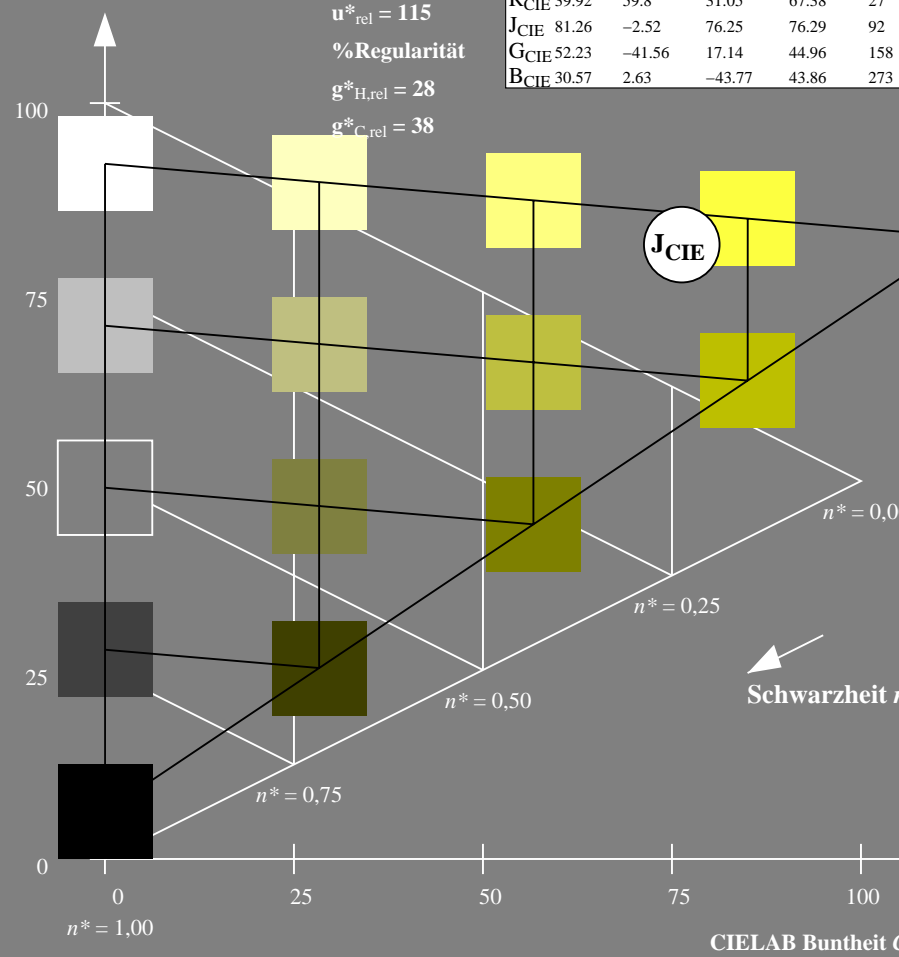
%Umfang

$u^*_{rel} = 115$

%Regularität

$g^*_{H,rel} = 28$

$g^*_{C,rel} = 38$



VG230-7, 5 stufige Reihen für konstanten CIELAB Buntton $92/360 = 0.255$ (links)

Ausgabe: Farbmetrisches Drucker-Reflektiv-System FRS06

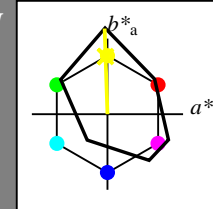
für Buntton $h^* = lab \cdot h = 92/360 = 0.255$

LAB*LCH, LAB*NCH

D65: Buntton J

LCH*Ma: 82 113 92

olv*Ma: 0.99 1.0 0.0



FRS06; adaptierte CIELAB-Daten

	$L^*=L^*_a$	a^*_a	b^*_a	$C^*_{ab,a}$	$h^*_{ab,a}$
O _{Ma}	32.57	62.32	46.49	77.75	37
Y _{Ma}	82.73	-3.16	113.99	114.03	92
L _{Ma}	39.43	-61.79	45.84	76.95	143
C _{Ma}	47.86	-26.79	-34.24	43.49	232
V _{Ma}	10.16	55.12	-61.03	82.24	312
M _{Ma}	34.5	80.68	-33.92	87.52	337
N _{Ma}	6.25	0.0	0.0	0.0	0
W _{Ma}	91.97	0.0	0.0	0.0	0
R _{CIE}	39.92	59.8	31.05	67.38	27
J _{CIE}	81.26	-2.52	76.25	76.29	92
G _{CIE}	52.23	-41.56	17.14	44.96	158
B _{CIE}	30.57	2.63	-43.77	43.86	273

CIELAB-Helligkeit L^*

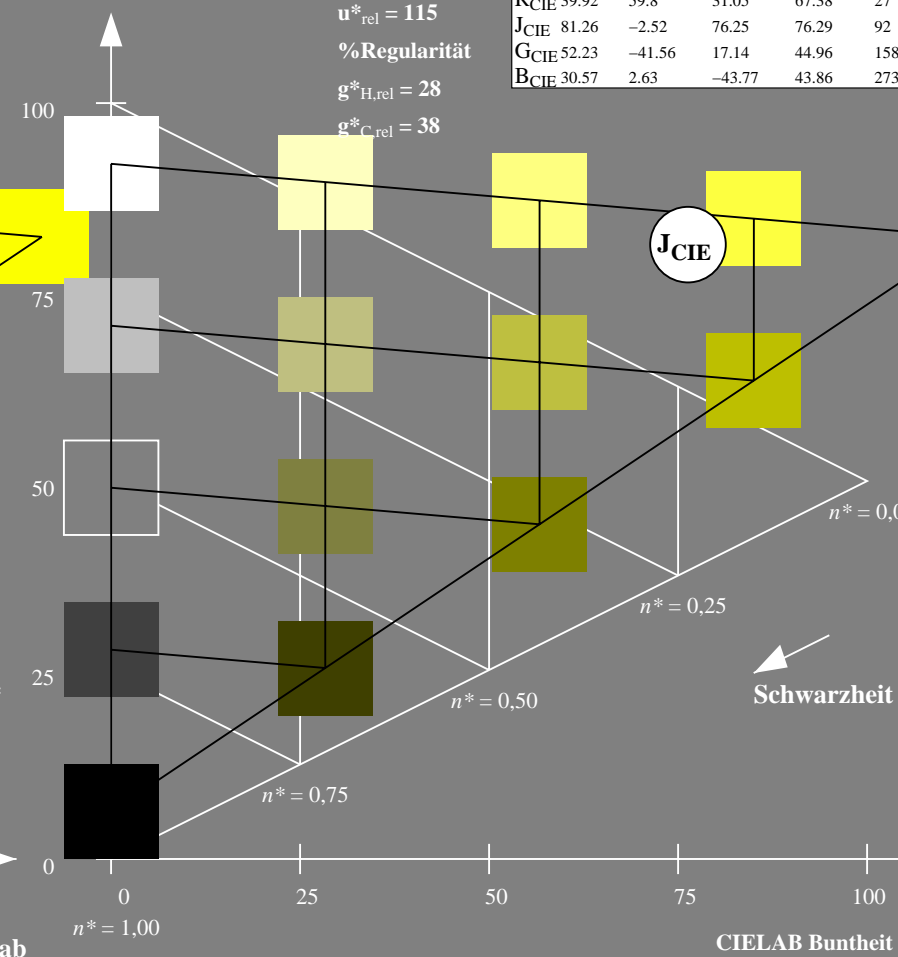
%Umfang

$u^*_{rel} = 115$

%Regularität

$g^*_{H,rel} = 28$

$g^*_{C,rel} = 38$



5 stufige Reihen für konstanten CIELAB Buntton $92/360 = 0.255$ (rechts)

BAM-Prüfvorlage VG23; Farbmetrik-Systeme FRS06 & FRS06 input: olv* setrgbcolor

D65: Koordinatensysteme; 5stufige Farbreihen für 10 Bunttöne output: no change compared to input

Eingabe: Farbmetrisches Drucker-Reflektiv-System FRS06

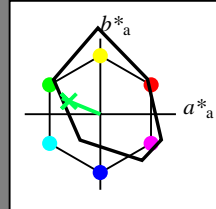
für Buntton $h^* = lab^*h = 158/360 = 0.438$

LAB*LCH, LAB*NCH

D65: Buntton G

LCH*Ma: 42 55 158

olv*Ma: 0.0 1.0 0.31



FRS06; adaptierte CIELAB-Daten

	$L^*=L_a^*$	a_a^*	b_a^*	$C_{ab,a}^*$	$h_{ab,a}^*$
O _{Ma}	32.57	62.32	46.49	77.75	37
Y _{Ma}	82.73	-3.16	113.99	114.03	92
L _{Ma}	39.43	-61.79	45.84	76.95	143
C _{Ma}	47.86	-26.79	-34.24	43.49	232
V _{Ma}	10.16	55.12	-61.03	82.24	312
M _{Ma}	34.5	80.68	-33.92	87.52	337
N _{Ma}	6.25	0.0	0.0	0.0	0
W _{Ma}	91.97	0.0	0.0	0.0	0
R _{CIE}	39.92	59.8	31.05	67.38	27
J _{CIE}	81.26	-2.52	76.25	76.29	92
G _{CIE}	52.23	-41.56	17.14	44.96	158
B _{CIE}	30.57	2.63	-43.77	43.86	273

CIELAB-Helligkeit L^*

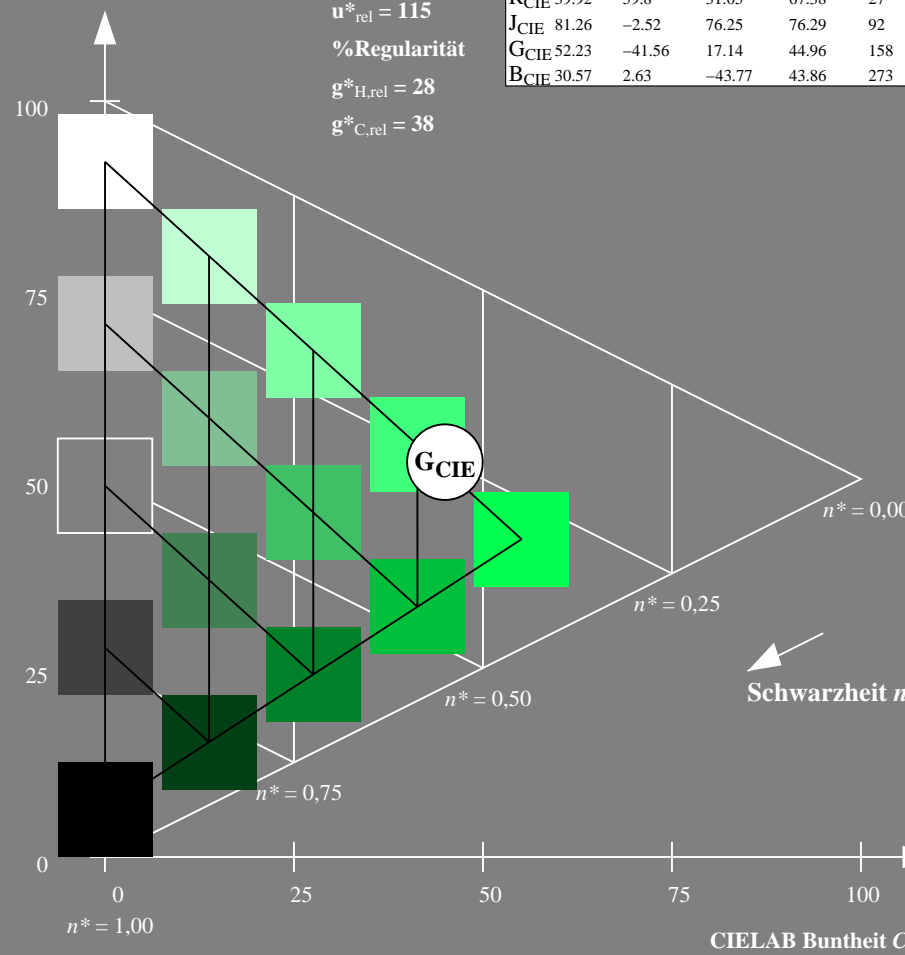
%Umfang

$u_{rel}^* = 115$

%Regularität

$g_{H,rel}^* = 28$

$g_{C,rel}^* = 38$



VG230-7, 5 stufige Reihen für konstanten CIELAB Buntton 158/360 = 0.438 (links)

Ausgabe: Farbmetrisches Drucker-Reflektiv-System FRS06

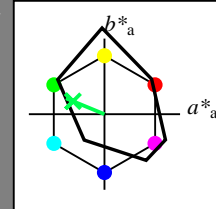
für Buntton $h^* = lab^*h = 158/360 = 0.438$

LAB*LCH, LAB*NCH

D65: Buntton G

LCH*Ma: 42 55 158

olv*Ma: 0.0 1.0 0.31



FRS06; adaptierte CIELAB-Daten

	$L^*=L_a^*$	a_a^*	b_a^*	$C_{ab,a}^*$	$h_{ab,a}^*$
O _{Ma}	32.57	62.32	46.49	77.75	37
Y _{Ma}	82.73	-3.16	113.99	114.03	92
L _{Ma}	39.43	-61.79	45.84	76.95	143
C _{Ma}	47.86	-26.79	-34.24	43.49	232
V _{Ma}	10.16	55.12	-61.03	82.24	312
M _{Ma}	34.5	80.68	-33.92	87.52	337
N _{Ma}	6.25	0.0	0.0	0.0	0
W _{Ma}	91.97	0.0	0.0	0.0	0
R _{CIE}	39.92	59.8	31.05	67.38	27
J _{CIE}	81.26	-2.52	76.25	76.29	92
G _{CIE}	52.23	-41.56	17.14	44.96	158
B _{CIE}	30.57	2.63	-43.77	43.86	273

CIELAB-Helligkeit L^*

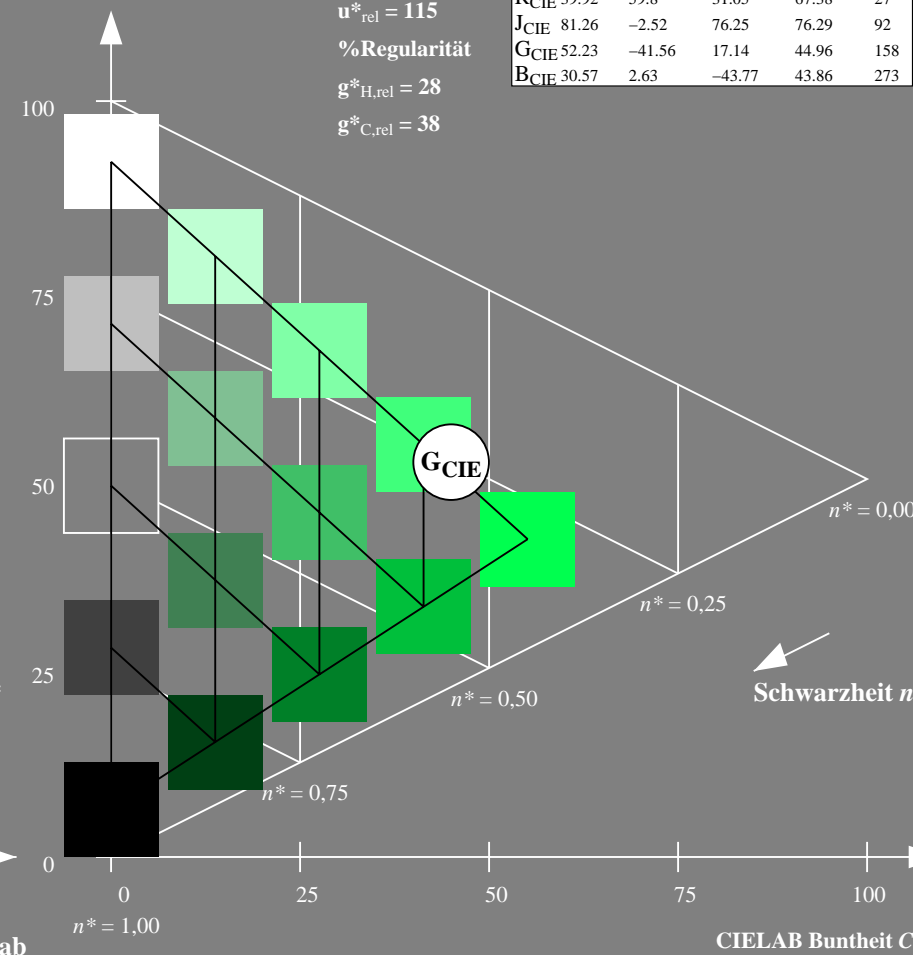
%Umfang

$u_{rel}^* = 115$

%Regularität

$g_{H,rel}^* = 28$

$g_{C,rel}^* = 38$



5 stufige Reihen für konstanten CIELAB Buntton 158/360 = 0.438 (rechts)

BAM-Prüfvorlage VG23; Farbmetrik-Systeme FRS06 & FRS06 input: olv* setrgbcolor

D65: Koordinatensysteme; 5stufige Farbreihen für 10 Bunttöne output: no change compared to input

Eingabe: Farbmétrisches Drucker-Reflektiv-System FRS06

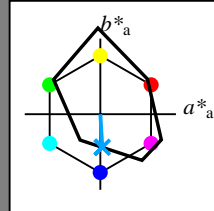
für Buntton $h^* = lab^*h = 273/360 = 0.76$

LAB*LCH, LAB*NCH

D65: Buntton B

LCH*Ma: 34 44 273

olv*Ma: 0.0 0.64 1.0



FRS06; adaptierte CIELAB-Daten

	$L^*=L_a^*$	a_a^*	b_a^*	$C_{ab,a}^*$	$h_{ab,a}^*$
O _{Ma}	32.57	62.32	46.49	77.75	37
Y _{Ma}	82.73	-3.16	113.99	114.03	92
L _{Ma}	39.43	-61.79	45.84	76.95	143
C _{Ma}	47.86	-26.79	-34.24	43.49	232
V _{Ma}	10.16	55.12	-61.03	82.24	312
M _{Ma}	34.5	80.68	-33.92	87.52	337
N _{Ma}	6.25	0.0	0.0	0.0	0
W _{Ma}	91.97	0.0	0.0	0.0	0
R _{CIE}	39.92	59.8	31.05	67.38	27
J _{CIE}	81.26	-2.52	76.25	76.29	92
G _{CIE}	52.23	-41.56	17.14	44.96	158
B _{CIE}	30.57	2.63	-43.77	43.86	273

CIELAB-Helligkeit L^*

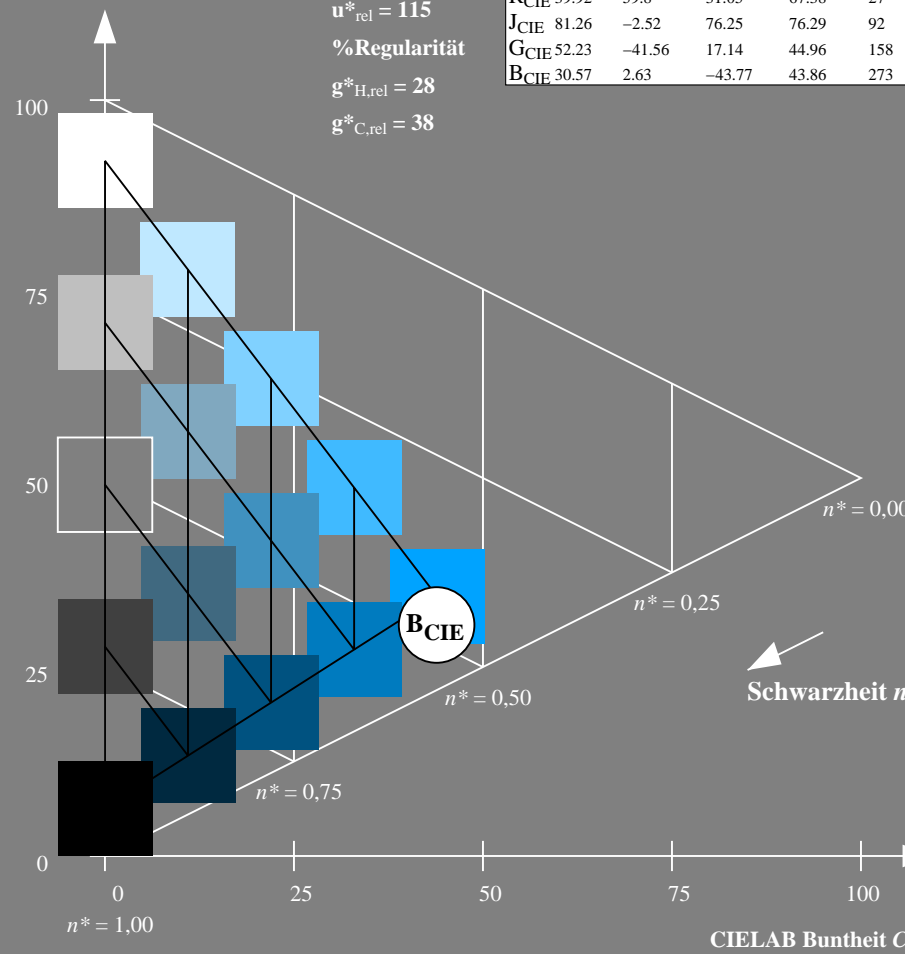
%Umfang

$u_{rel}^* = 115$

%Regularität

$g_{H,rel}^* = 28$

$g_{C,rel}^* = 38$



VG230-7, 5 stufige Reihen für konstanten CIELAB Buntton 273/360 = 0.76 (links)

Ausgabe: Farbmétrisches Drucker-Reflektiv-System FRS06

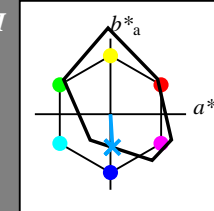
für Buntton $h^* = lab^*h = 273/360 = 0.76$

LAB*LCH, LAB*NCH

D65: Buntton B

LCH*Ma: 34 44 273

olv*Ma: 0.0 0.64 1.0



FRS06; adaptierte CIELAB-Daten

	$L^*=L_a^*$	a_a^*	b_a^*	$C_{ab,a}^*$	$h_{ab,a}^*$
O _{Ma}	32.57	62.32	46.49	77.75	37
Y _{Ma}	82.73	-3.16	113.99	114.03	92
L _{Ma}	39.43	-61.79	45.84	76.95	143
C _{Ma}	47.86	-26.79	-34.24	43.49	232
V _{Ma}	10.16	55.12	-61.03	82.24	312
M _{Ma}	34.5	80.68	-33.92	87.52	337
N _{Ma}	6.25	0.0	0.0	0.0	0
W _{Ma}	91.97	0.0	0.0	0.0	0
R _{CIE}	39.92	59.8	31.05	67.38	27
J _{CIE}	81.26	-2.52	76.25	76.29	92
G _{CIE}	52.23	-41.56	17.14	44.96	158
B _{CIE}	30.57	2.63	-43.77	43.86	273

CIELAB-Helligkeit L^*

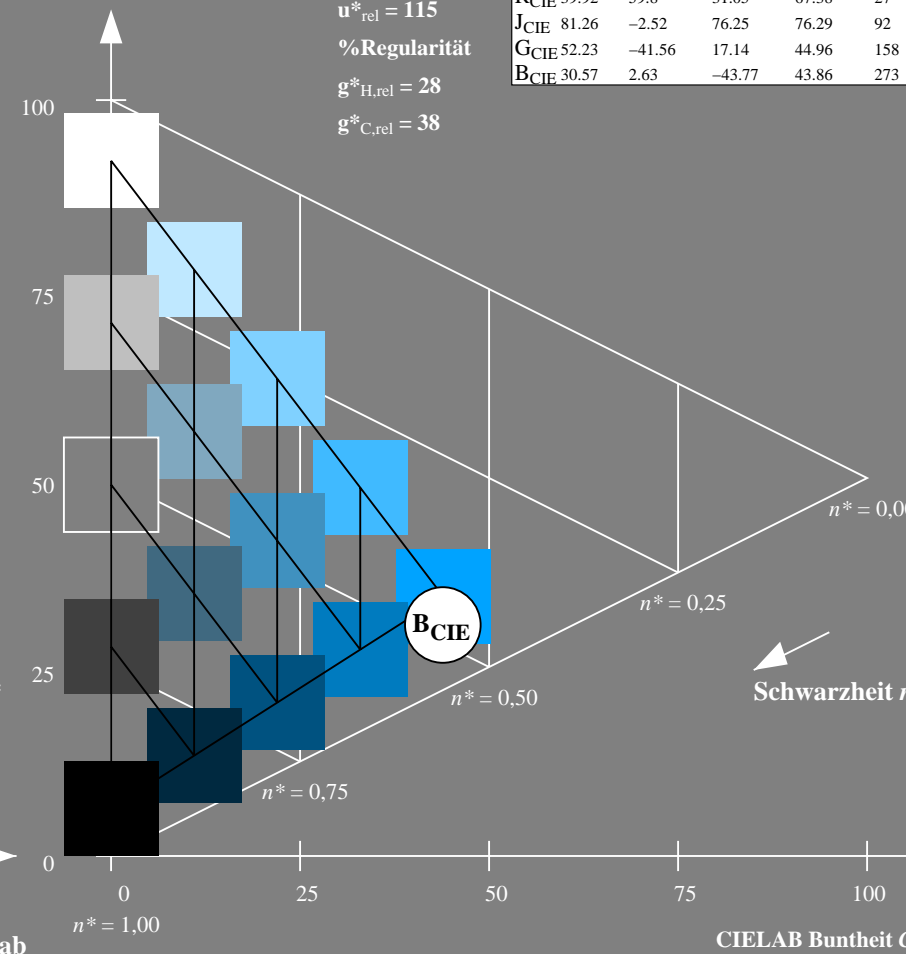
%Umfang

$u_{rel}^* = 115$

%Regularität

$g_{H,rel}^* = 28$

$g_{C,rel}^* = 38$



5 stufige Reihen für konstanten CIELAB Buntton 273/360 = 0.76 (rechts)

BAM-Prüfvorlage VG23; Farbmétrik-Systeme FRS06 & FRS06 input: olv* setrgbcolor

D65: Koordinatensysteme; 5stufige Farbreihen für 10 Bunttöne output: no change compared to input